

с ионами или метастабильными гелия. В сильноточном режиме разряда интенсивность ионных линий, на которых получена лазерная генерация [6], ниже, чем в слаботочном. Это связано с уменьшением эффективности процесса перезарядки ионов гелия на атомах кадмия и пеннинговской ионизации кадмия, являющихся основными каналами заселения верхних лазерных уровней CdII [2, 6]. Использование для накачки ионного HeCd лазера сильноточного разряда высокого давления не может привести к существенному увеличению энергетических характеристик лазера, поскольку в этом режиме низка температура электронов.

Таким образом, в работе обнаружены два режима устойчивого объемного горения самостоятельного разряда в плотной гелий-кадмиевой среде. Показано, что переход в сильноточный режим обусловлен возникновением катодных пятен и последующим заполнением межэлектродного зазора диффузными каналами, проводимость которых близка к спицевой. Такой переход сопровождается снижением температуры электронов и уменьшением интенсивности ионных линий кадмия. Сопоставление характеристик сильноточного разряда в Ag и HeCd смеси свидетельствует об общности процессов их формирования.

Список литературы

- [1] Солдатов А. Н., Соломонов В. И. Газоразрядные лазеры на самоограниченных переходах в парах металлов. Новосибирск: Наука, 1985. 151 с.
- [2] Иванов И. Г., Латуш Е. Л., Сэм М. Ф. Ионные лазеры на парах металлов. М.: Энергоатомиздат, 1990. 255 с.
- [3] Артемьев А. Ю., Бабейко Ю. А., Бахтин О. М. и др. // Квантовая электрон. 1980. Т. 7. № 9. С. 1948—1954.
- [4] Butler M. S., Piper J. A. // Appl. Phys. Lett. 1983. Vol. 42. N 12. P. 1008—1010.
- [5] Butler M. S., Piper J. A. // Appl. Phys. Lett. 1983. Vol. 43. N 9. P. 823—825.
- [6] Горюнов Ф. Г., Держиев В. И., Жидков А. Г. и др. // Квантовая электрон. 1989. Т. 16. № 10. С. 2039—2046.
- [7] Кралин В. В., Фирсов К. Н. // Письма в ЖТФ. 1989. Т. 15. Вып. 11. С. 89—92.
- [8] Королев Ю. Д., Месяц Г. А. Автоэмиссионные и взрывные процессы в газовом разряде. Новосибирск: Наука, 1982. 255 с.
- [9] Бычков Ю. И., Королев Ю. Д., Месяц Г. А. и др. // Письма в ЖТФ. 1977. Т. 3. Вып. 21. С. 1121—1125.
- [10] Бычков Ю. И., Королев Ю. Д., Месяц Г. А. и др. // Изв. вузов. Физика. 1978. № 7. С. 72—81.
- [11] Козырев А. В., Королев Ю. Д., Месяц Г. А. и др. // ЖТФ. 1981. Т. 51. Вып. 9. С. 4817—4822.
- [12] Копай-Гора А. П., Мавлютов А. А., Мелькевич А. И., Саламата Б. С. // ЖТФ. 1989. Т. 67. Вып. 3. С. 526—532.

Институт электрофизики
Екатеринбург

Поступило в Редакцию
28 января 1991 г.

09

Журнал технической физики, т. 67, в. 12, 1991

© 1991 г.

ЕСТЕСТВЕННЫЕ ФЛУКТУАЦИИ В СПИНОВОМ ГЕНЕРАТОРЕ. I

Л. С. Корниенко, С. Д. Петрова, Р. М. Умарходжаев

Необходимость анализа воздействия флуктуаций в спиновом генераторе обусловлена тем, что шумы являются одним из факторов, определяющих точностные характеристики приборов квантовой магнитометрии и гиromетрии, основой которых является спиновый генератор.

Анализ технических флуктуаций в спиновом генераторе (СГ) с оптической накачкой, выполненный в работе [1], показал, что выбором коэффициента пере-

$$M_{z\sim} + \delta_1 M_{z\sim} + 2\delta_2 \frac{\rho_0}{M_{z\sim}} \rho_{\sim} - \frac{\delta_2 \rho_0^2}{M_{z\sim}} \operatorname{tg} \alpha_0 \dot{\alpha}_0 \theta_{\sim} = \gamma \rho_0 H_m^s, \quad (5)$$

где

$$\dot{\alpha}_0 = \frac{\partial \alpha_0}{\partial t}; \quad H_m^s = \frac{1}{T} \int_{t-T}^t \varepsilon_m \sin \theta dt; \quad H_m^c = \frac{1}{T} \int_{t-T}^t \varepsilon_m \cos \theta dt.$$

Полагая, что спектральные плотности величин H_m^c и H_m^s в области частоты генерации постоянны и независимы [8], из (5) находим выражение для спектральной плотности флуктуаций фазы

$$S_{\theta} = \frac{S_s [4\delta_2^2 + \Omega^2] \delta_2^2 \gamma^2 \frac{\rho_0^2}{M_{z\sim}^2} \operatorname{tg}^2 \alpha_0 + S_c \left[\frac{M_{z\sim}^2}{\rho_0^2} \gamma^2 \Omega^2 (\Omega^2 + \delta_1^2) + 2\delta_2^2 \gamma^2 (\Omega^2 + 2\delta_2^2 \frac{\rho_0^2}{M_{z\sim}^2}) \right]}{\left[\Omega^2 (\delta_2 \dot{\alpha}_0 - \delta_1) + 2\delta_3^2 \frac{\rho_0^2}{M_{z\sim}^2} \dot{\alpha}_0 (\operatorname{tg}^2 \alpha_0 - 1) \right]^2 + \Omega^2 \left[-\Omega^2 - \delta_1 \delta_2 \dot{\alpha}_0 - \delta_3^2 \frac{\rho_0^2}{M_{z\sim}^2} (\dot{\alpha}_0 \operatorname{tg}^2 \alpha_0 - 2) \right]^2},$$

где S_s и S_c — спектральные плотности флуктуаций H_m^s и H_m^c .

При нулевой величине задержки сигнала ($\alpha_0=0$) в цепи обратной связи выражение S_{θ} совпадает с выражением для спектральной плотности флуктуаций фазы колебаний генератора томпсоновского типа [8].

Из уравнений (5) следуют выражения для спектральных плотностей флуктуаций амплитуды колебаний $S_{\rho_{\sim}}$ и разности населенностей $S_{M_{z\sim}}$

$$S_{\rho_{\sim}} = \frac{4S_s}{\cos^2 \alpha_0} \frac{\left(z^2 - \frac{\delta_1}{\delta_2} \right)^2 + \frac{\Omega^2}{\delta_2^2}}{\left(2z^2 - \frac{\Omega^2}{\delta_1^2} \right)^2 + \delta_1^2 \frac{\Omega^2}{\delta_2^2}}, \quad (6)$$

$$S_{M_{z\sim}} = \frac{4S_s}{\cos^2 \alpha_0} \frac{\left(4 + \frac{\Omega^2}{\delta_2^2} \right)^2 \rho_0^2}{\left(2z^2 - \frac{\Omega^2}{\delta_1^2} \right)^2 + \delta_1^2 \frac{\Omega^2}{\delta_2^2}}, \quad (7)$$

где

$$z = \frac{k \gamma \rho_0}{\delta_2} = \frac{(\gamma H_1)^2}{\delta_1 \delta_2} - \text{фактор насыщения.}$$

Графики зависимостей $S_{\rho_{\sim}}(\Omega)$ для различных значений величины фактора насыщения z и $\delta_1 = \delta_2 = \delta$ представлены на рисунке. В интервале значений фактора насыщения $0 < z < z_{\max}^p \approx 0.44$ величина спектральной плотности флуктуаций амплитуды $S_{\rho_{\sim}}$ монотонно убывает с ростом частоты Ω . С увеличением $z > z_{\max}^p$ в $S_{\rho_{\sim}}$ появляется максимум на частоте

$$\Omega^{\max} = \left[-\delta_2 \left(z^2 - \frac{\delta_1}{\delta_2} \right)^2 + \sqrt{\delta_2^2 \left(z^4 + \frac{\delta_1^2}{\delta_2^2} \right)^2 + \frac{\delta_1^2}{\delta_2} \left(z^2 - \frac{\delta_1}{\delta_2} \right)^2} \right]^{1/2}.$$

С ростом z величина Ω^{\max} возрастает, а абсолютная величина максимума сначала, уменьшаясь, достигает своего минимального значения при $z = \sqrt{\delta_1/\delta_2}$, а затем возрастает.

Следует отметить, что при $z = \sqrt{\delta_1/\delta_2}$ кривая спектральной плотности флуктуаций амплитуды проходит через начало координат. Отсутствие флуктуаций на нулевой частоте при $z = \sqrt{\delta_1/\delta_2}$ можно связать с наличием максимума функции $\rho_0(k)$ — стационарной амплитуды генерации от коэффициента усиления

$$\rho_0(k) = \frac{\sqrt{k \gamma M_0 \delta_1 - \delta_1 \delta_2}}{k \gamma},$$

поскольку

$$S_{\rho_{\sim}}(\Omega = 0) = \left(\frac{\partial \rho_0}{\partial k} \frac{k}{\rho_0} \right)^2.$$

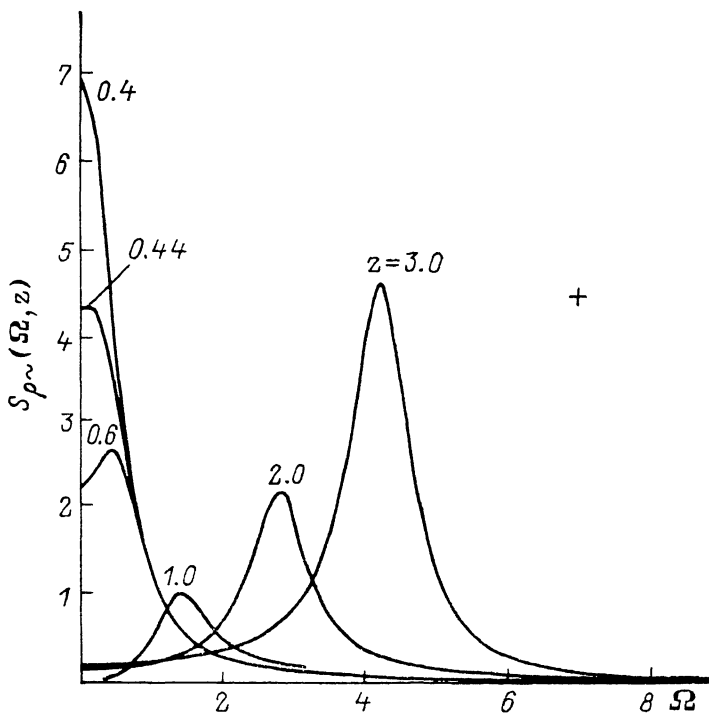
Максимум $\rho_0^{\max} = (M_0/2) \sqrt{\delta_1/\delta_2}$ достигается при $k = k_0 = (2\delta_2)/(\gamma M_0)$, что соответствует фактору насыщения $z = \sqrt{\delta_1/\delta_2}$.

Величина дисперсии флуктуаций амплитуды $D_{p\sim}$ определяется из выражения

$$D_{p\sim} = \frac{2\pi S_s}{\cos \alpha_0^2} \frac{\delta_1^2}{\delta_2} \left[1 + \frac{\left(\frac{\delta_1}{\delta_2} - z^2 \right)^2}{2z^2} \right]$$

и при $z = \sqrt{\delta_1/\delta_2}$ минимальна.

Согласно [8-10], наличие максимума в спектре амплитудных флуктуаций характерно для генераторов с инерционной нелинейностью, особенностью которых является также наличие колебательного переходного процесса установления стационарного режима.



В СГ изменение вида переходного процесса в малом от аperiodического к колебательному происходит при величине фактора насыщения $z_{\text{пер}}^{\text{гр}} = \sqrt{1/8} (\delta_1/\delta_2)$ (при $\delta_1 = \delta_2$ $z_{\text{пер}}^{\text{гр}} \approx 0.3555$). При $z > z_{\text{пер}}^{\text{гр}}$ процесс установления стационарного режима носит колебательный характер, причем частота колебаний

$$\Omega^{\text{кол}} = \frac{\delta_2}{2} \sqrt{8z^2 - \left(\frac{\delta_1}{\delta_2} \right)^2}.$$

Подчеркнем, что частоты Ω^{max} и $\Omega^{\text{кол}}$, а также границы появления максимума $z_{\text{max}}^{\text{гр}}$ в спектре амплитудных флуктуаций и начала колебательного переходного процесса $z_{\text{пер}}^{\text{гр}}$ не совпадают. В интервале значений от $z_{\text{пер}}^{\text{гр}}$ до $z_{\text{max}}^{\text{гр}}$ переходной процесс носит колебательный характер, тогда как максимум в спектре амплитудных флуктуаций отсутствует.

В заключение отметим, что проведенный анализ, а также результаты работы [1] позволяют сделать вывод, что в СГ с широкополосной линейной обратной связью влияние как естественных, так и технических флуктуаций минимально в режиме работы СГ при величине фактора насыщения $z = \sqrt{\delta_1/\delta_2}$.

Список литературы

- [1] Корниенко Л. С., Петрова С. Д., Умарходжаев Р. М. // Опт. и спектр. 1985. Т. 58. Вып. 4. С. 790-793.
- [2] Корниенко Л. С., Коткин А. Л., Павлов Ю. В., Умарходжаев Р. М. Деп. в ВИНТИ № 4726-83. М., 1983.